



Mayer-Vietoris 同调

Mayer-Vietoris 同调

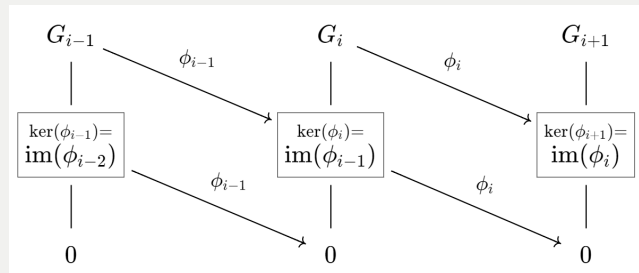
同调代数拾遗

Definition 2.1.1 称 (Abel 群同态列) $C \xrightarrow{f} D \xrightarrow{g} E$ 在 D 处**正合**, 若且仅若 $\ker(g) = \text{im}(f)$.



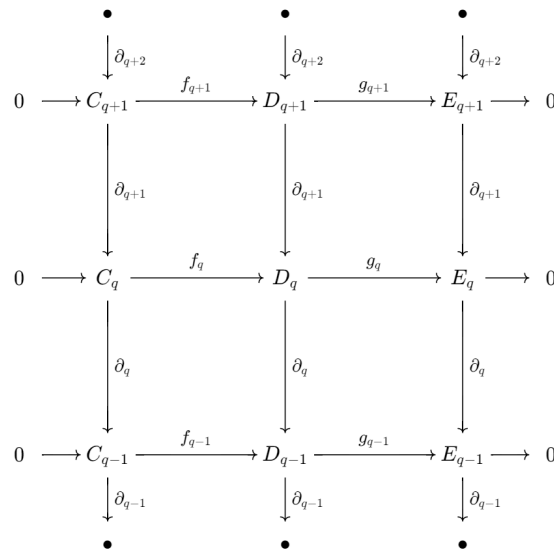
Remark 通常称一系列正合关系为正合列, i.e.,

$$\cdots \rightarrow G_{i-1} \xrightarrow{\phi_{i-1}} G_i \xrightarrow{\phi_i} G_{i+1} \rightarrow \cdots$$



[链接](#)

Theorem 2.1.2 对链复形与短正合列 $0 \rightarrow C \xrightarrow{f} D \xrightarrow{g} E \rightarrow 0$, 考察交换图表



[链接](#)

上图表中横行均正合, 对 $e_q \in Z_q(E)$ 定义**边缘同态**

$$\partial_* : H_q(E) \rightarrow H_{q-1}(C), \quad [e_q] \mapsto [f_{q-1}^{-1} \partial_q g_q^{-1}(e_q)].$$

从而可良定义长正合列

$$\cdots \xrightarrow{\partial_*} H_{q+1}(C) \xrightarrow{f_*} H_{q+1}(D) \xrightarrow{g_*} \boxed{H_{q+1}(E) \xrightarrow{\partial_*} H_q(C)} \xrightarrow{f_*} H_q(D) \xrightarrow{g_*} H_q(E) \xrightarrow{\partial_*} \cdots$$

▼ Proof of the theorem

实际上, 只需证明以下正合横列给出同态 $\ker(\partial'_q) \xrightarrow{\delta} \operatorname{coker}(\partial'_q)$

$$\begin{array}{ccccccc}
 C_q & \xrightarrow{f_q} & D_q & \xrightarrow{g_q} & E_q & \longrightarrow & 0 \\
 \downarrow \partial'_q & & \downarrow \partial_q & & \downarrow \partial''_q & & \\
 0 \longrightarrow C_{q-1} & \xrightarrow{f_{q-1}} & D_{q-1} & \xrightarrow{g_{q-1}} & E_{q-1} & &
 \end{array}$$

[链接](#)

补全纵列作短正合列, 得右图.

下依次证明:

1 蓝线 (连接框的路径) 给出

$$\begin{aligned}
 \delta &:= \overline{\partial'_q} f_{q-1}^{-1} \partial_q g_q^{-1} \partial''_{q0} : \\
 \ker(\partial'_q) &\rightarrow \operatorname{coker}(\partial'_q).
 \end{aligned}$$

2 δ 为良定义的同态.

3 $\operatorname{im}(g_{q0}) = \ker(\delta)$.

4 $\ker(\overline{f_q}) = \operatorname{im}(\delta)$.

$$\begin{array}{ccccccc}
 0 & & 0 & & 0 & & \\
 \downarrow & & \downarrow & & \downarrow & & \\
 \ker(\partial'_q) & \xrightarrow{f_{q0}} & \ker(\partial_q) & \xrightarrow{g_{q0}} & \ker(\partial''_q) & & \\
 \downarrow \partial'_{q0} & & \downarrow \partial_{q0} & & \downarrow \partial''_{q0} & & \\
 C_q & \xrightarrow{f_q} & D_q & \xrightarrow{g_q} & E_q & \longrightarrow & 0 \\
 \downarrow \partial'_q & & \downarrow \partial_q & & \downarrow \partial''_q & & \\
 0 \longrightarrow C_{q-1} & \xrightarrow{f_{q-1}} & D_{q-1} & \xrightarrow{g_{q-1}} & E_{q-1} & & \\
 \downarrow \overline{\partial'_q} & & \downarrow \overline{\partial_q} & & \downarrow \overline{\partial''_q} & & \\
 \operatorname{coker}(\partial'_q) & \xrightarrow{\overline{f_q}} & \operatorname{coker}(\partial_q) & \xrightarrow{\overline{g_q}} & \operatorname{coker}(\partial''_q) & & \\
 \downarrow & & \downarrow & & \downarrow & & \\
 0 & & 0 & & 0 & &
 \end{array}$$

[链接](#)

1 证明 δ 为映射 (即无法一对多):

- $\forall e \in \ker(\partial''_q)$, 由于 g_q 为满射, 固存在 $d \in D_q$ 使得 $g_q(d) = \partial''_{q0}(e)$.
- 注意到 $\partial''_q \circ \partial'_{q0} \equiv 0$, 从而 $\partial''_q g_q(d) = g_{q-1} \partial_q(d) = 0$.
- 根据短正合列, $\partial_q(d) \in \ker(g_{q-1}) = \operatorname{im}(f_{q-1})$, 因此存在 $c' \in C_{q-1}$ 使得 $f_{q-1}(c') = \partial_q(d)$. 此处 f_{q-1} 为单的, c' 的选取仅取决于 d .
- 对任意 d_1 与 d_2 使得 $g_q(d_1) = g_q(d_2) = \partial''_{q0}(e)$, $(d_1 - d_2) \in \ker(g_q) = \operatorname{im}(f_q)$. 取 $c \in C_q$ 使得 $f_q(c) = d_1 - d_2$.
- 当 d_1 变为 d_2 时, c'_1 变为 c'_2 , 其间相差 $\partial'_q(c) \in \ker(\overline{\partial'_q})$, 从而 $\overline{\partial'_q}(c'_1) = \overline{\partial'_q}(c'_2)$. 可见 δ 为良定义的映射.

2 δ 显然为良定义的同态, 就 1 中各步骤逐一验证即可.

3 分两步证明 $\operatorname{im}(g_{q0}) = \ker(\delta)$:

- 任取 $d \in \ker(\partial_q)$, 则 $g_{q0}(d) \in \ker(\partial''_q)$, 从而依照交换图有 (六步变四步)

$$\delta(g_{q0}(d)) = \overline{\partial'_q} f_{q-1}^{-1} \partial_q g_q^{-1} \partial''_{q0} g_{q0}(d) = \overline{\partial'_q} f_{q-1}^{-1} \partial_q \partial_{q0}(d) = 0.$$

因此得 $\text{im}(g_{q0}) \subset \ker(\delta)$.

2. 另一方面, 沿用 1 中符号. 任取 $\forall e \in \ker(\delta)$, 则 $c' \in \ker(\partial'_q) = \text{im}(\partial'_q)$. 取 c 使得 $\partial'_q(c) = c'$, 从而 $f_{q-1}(c') = \partial_q f_q(c)$, 即 $d - f_q(c) \in \ker(\partial_q) = \text{im}(\partial_{q0})$. 故存在 $d' \in \ker(\partial_q)$ 使得 $\partial_{q0}(d') = d - f_q(c)$. 因此


$$\partial''_{q0} g_{q0}(d') = g_q \partial_{q0}(d') = g_q(d) = \partial''_{q0}(e).$$

由于 ∂''_{q0} 为单的, 故 $\text{im}(g_{q0}) \supset \ker(\delta)$.

得证.

4 类比 3.

至此, 我们证明了 Theorem 2.1.2 (或称 2 引理).

 **Remark** 短正合列 $0 \rightarrow C \xrightarrow{f} D \xrightarrow{g} E \rightarrow 0$ 导出长正合同调列

$$\cdots \xrightarrow{\partial_*} H_{q+1}(C) \xrightarrow{f_*} H_{q+1}(D) \xrightarrow{g_*} \boxed{H_{q+1}(E) \xrightarrow{\partial_*} H_q(C)} \xrightarrow{f_*} H_q(D) \xrightarrow{g_*} H_q(E) \xrightarrow{\partial_*} \cdots$$

Theorem 2.1.3 同调序列具有自然性质表现如下. 若存在如下交换图

$$\begin{array}{ccccccccc} 0 & \longrightarrow & C & \xrightarrow{f} & D & \xrightarrow{g} & E & \longrightarrow & 0 \\ & & \downarrow \alpha & & \downarrow \beta & & \downarrow \gamma & & \\ 0 & \longrightarrow & C' & \xrightarrow{f'} & D' & \xrightarrow{g'} & E' & \longrightarrow & 0 \end{array}$$

[链接](#)

其中横行为短正合列, 则存在长正合同调列间的交换图, 如下图所示

$$\begin{array}{ccccccccc} \bullet & \longrightarrow & C_q & \xrightarrow{f_*} & D_q & \xrightarrow{g_*} & E_q & \xrightarrow{\partial_*} & C_{q-1} & \longrightarrow & \bullet \\ & & \alpha_* \downarrow & & \beta_* \downarrow & & \gamma_* \downarrow & & \alpha_* \downarrow & & \\ \bullet & \longrightarrow & C'_q & \xrightarrow{f'_*} & D'_q & \xrightarrow{g'_*} & E'_q & \xrightarrow{\partial'_*} & C'_{q-1} & \longrightarrow & \bullet \end{array}$$

[链接](#)

▼ Proof of the theorem

证明之主要矛盾系验证 $\alpha_* \partial_* = \partial'_* \gamma_*$. 将边缘同态写作 Theorem 2.1.3 中形式即可.

Theorem 2.1.4 (五引理) 选取同调列间的交换图局部如下

$$\begin{array}{ccccccccc} A_1 & \xrightarrow{f_1} & A_2 & \xrightarrow{f_2} & A_3 & \xrightarrow{f_3} & A_4 & \xrightarrow{f_4} & A_5 \\ \downarrow t_1 & & \downarrow t_2 & & \downarrow t_3 & & \downarrow t_4 & & \downarrow t_5 \\ B_1 & \xrightarrow{g_1} & B_2 & \xrightarrow{g_2} & B_3 & \xrightarrow{g_3} & B_4 & \xrightarrow{g_4} & B_5 \end{array}$$

[链接](#)

- 若 t_4 与 t_2 均为满射, t_5 为单射, 则 t_3 为满射.
- 若 t_4 与 t_2 均为单射, t_1 为满射, 则 t_3 为单射.
- 若 t_2, t_4 均为同构, t_5 为单射, t_1 为满射, 则 t_3 为同构.

▼ Proof of the theorem

- 若 t_4 与 t_2 均为满射, t_5 为单射. 任取 $b_3 \in B_3$, 则存在 $a_4 \in A_4$ 使得 $t_4(a_4) = g_3(b_3)$. 由于

$$0 = g_4 g_3(b_3) = g_4 t_4(a_4) = t_5 f_4(a_4),$$

加之 t_5 为单射, $f_4(a_4) = 0$. 因此存在 $a_3 \in A_3$ 使得 $f_3(a_3) = a_4$. 再注意到

$$\begin{aligned} g_3(t_3(a_3) - b_3) &= g_3 t_3(a_3) - g_3 b_3 \\ &= t_4 f_3(a_3) - t_4 a_4 \\ &= t_4(a_4) - t_4(a_4) \\ &= 0. \end{aligned}$$

从而存在 $b_2 \in B_2$ 使得 $g_2(b_2) = t_3(a_3) - b_3$. 由于 f_2 为满射, 故存在 a_2 使得 $t_2(a_2) = b_2$.

可发现 b_3 的某一原像大致与 $f_2(a_2)$ 以及 a_3 有关. 计算得

$$\begin{aligned} t_3 f_2(a_2) &= g_2 t_2(a_2) \\ &= g_2(b_2) \\ &= t_3(a_3) - b_3. \end{aligned}$$

因此 b_3 的某一原像为 $a_3 - f_2(a_2)$, 从而 t_3 为满射.

- 若 t_4 与 t_2 均为单射, t_1 为满射. 任取 $a_3 \in A_3$ 使得 $t_3(a_3) = 0$, 下验证 a_3 只能为 0. 根据交换图以及 t_4 为单的,

$$0 = g_3 t_3(a_3) = t_4 f_3(a_3) = f_3(a_3).$$

从而存在 $a_2 \in A_2$ 使得 $f_2(a_2) = a_3$. 注意到

$$g_2 t_2(a_2) = t_3 f_2(a_2) = t_3(a_3) = 0,$$

则存在 $b_1 \in B_1$ 使得 $g_1(b_1) = t_2(a_2)$. 由于 t_1 为满射, 取 $a_1 \in A_1$ 使得 $t_1(a_1) = b_1$. 再注意到

$$t_2(a_2) = g_1(b_1) = g_1 t_1(a_1) = t_2 f_1(a_1).$$

从而 $f_1(a_1) = a_2$. 故 $a_3 = f_2 f_1(a_1) = 0$.

- 最后一则是显然的.

Mayer-Vietoris 同调序列

Definition 2.2.1 称 \mathcal{U} 为 X 的一个覆盖, 若且仅若 $\bigcup_{U \in \mathcal{U}} U = X$. 称奇异单形 $\sigma: \Delta_q \rightarrow X$ 为 \mathcal{U} -小的若且仅若 $\sigma(\Delta_q)$ 包含于某一 $U \in \mathcal{U}$ 中.

Theorem 2.2.2 记 $S_*^{\mathcal{U}}(X)$ 为 \mathcal{U} -小奇异单形生成的链复形. 则嵌入映射 $i: S_*^{\mathcal{U}}(X) \rightarrow S_*(X)$ 为链映射, 且有以下同构

$$i_*: H_*(\widetilde{S_*^{\mathcal{U}}}(X)) \cong H_*(\tilde{S}_*(X)).$$

▼ Proof of the theorem

未完待续



Remark 定理说明: 在研究同调群时, 小的单形比大的更重要.

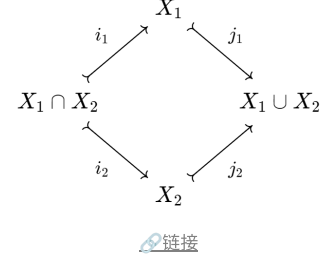
Definition 2.2.3 取拓扑空间的 X 的覆盖 X_1 和 X_2 使得 $X_1 \cup X_2 = X$. 以 \mathcal{U} 记 X 的覆盖 $\{X_1, X_2\}$, 且 \mathcal{U} -小奇异单形生成的子链复形

$$S_*^{\mathcal{U}}(X) = S_*(X_1) + S_*(X_2).$$

右侧交换图中, 记 Σ_{X_i} 为 X_i 中单形之集合, 则

- $\Sigma_{X_1 \cap X_2} = \Sigma_{X_1} \cap \Sigma_{X_2}$,
- $\Sigma_{(X_1 \cup X_2)^c} = \Sigma_{X_1} \cup \Sigma_{X_2}$.

从而有以下短正合列



$$0 \rightarrow S_*(X_1 \cap X_2) \xrightarrow{h_{\#}} S_*(X_1) \oplus S_*(X_2) \xrightarrow{k_{\#}} S_*(X_1) + S_*(X_2) \rightarrow 0.$$

其中 $h_{\#}$ 与 $k_{\#}$ 的取法可以是

$$h_{\#}(x) := i_{1\#}(x) - i_{2\#}(x), \quad k_{\#}(y, z) := j_{1\#}(y) + j_{2\#}(z).$$

抑或

$$h_{\#}(x) := i_{1\#}(x) + i_{2\#}(x), \quad k_{\#}(y, z) := j_{1\#}(y) - j_{2\#}(z).$$

Fact 2.2.4 根据 **Theorem 2.1.2**, 短正合列

$$0 \rightarrow S_*(X_1 \cap X_2) \xrightarrow{h_{\#}} S_*(X_1) \oplus S_*(X_2) \xrightarrow{k_{\#}} S_*(X_1) + S_*(X_2) \rightarrow 0$$

给出了长正合同调链

$$\cdots \rightarrow H_q(X_1 \cap X_2) \xrightarrow{\text{差/和}} H_q(X_1) \oplus H_q(X_2) \xrightarrow{\text{和/差}} \boxed{[H_q(X_1) + H_q(X_2)] \xrightarrow{\partial} H_{q-1}(X_1 \cap X_2)} \xrightarrow{\text{差/和}} H_{q-1}(X_1) \oplus H_{q-1}(X_2) \rightarrow \cdots$$

此处的 差 与 和 取决于 **Definition 2.2.3** 中 $h_{\#}$ 与 $k_{\#}$ 的取法.

Definition 2.2.5 若嵌入映射 $i : S_*(X_1) + S_*(X_2) \rightarrow S_*(X_1 \cup X_2)$ 诱导的同调群同态为同构, i.e.,

$$H_*(S_*(X_1) + S_*(X_2)) \rightarrow H_*(X_1 \cup X_2),$$

则称 $\{X_1, X_2\}$ 构成 **Mayer-Vietoris 耦**.



Remark 若 X_1 与 X_2 之内部覆盖 X , 则

$$i : S_*(X_1) + S_*(X_2) \rightarrow S_*(X_1 \cup X_2)$$

为同伦等价. 因此 $\{X_1, X_2\}$ 构成 Mayer-Vietoris 耦.

Theorem 2.2.6 若 $\{X_1, X_2\}$ 构成 Mayer-Vietoris 耦, 则有如下正合同调序列 (运用同构关系 $H_*(S_*(X_1) + S_*(X_2)) \rightarrow H_*(X_1 \cup X_2)$)

$$\cdots \rightarrow H_q(\cap) \xrightarrow{\text{差/和}} H_q(X_1) \oplus H_q(X_2) \xrightarrow{\text{和/差}} \boxed{H_q(\cup) \xrightarrow{\partial} H_{q-1}(\cap)} \xrightarrow{\text{差/和}} \cdots$$

Fact 2.2.7 上述 Mayer-Vietoris 正合列对增广链复形同理, 此处不赘述.

Theorem 2.2.8 结合 **Theorem 2.2.6** 与 **Theorem 2.1.3**, 若 $\{X_1, X_2\}$ 与 $\{Y_1, Y_2\}$ 分别为 X 与 Y 中的 Mayer-Vietoris 耦, 映射 $f : X \rightarrow Y$ 满足 $f(X_i) \subset Y_i$ ($i = 1, 2$), 则以下图可交换

$$\begin{array}{ccccccc}
\bullet & \longrightarrow & H_q(X_1 \cap X_2) & \xrightarrow{\text{差/和}} & H_q(X_1) \oplus H_q(X_2) & \xrightarrow{\text{和/差}} & H_q(X_1 \cup X_2) \xrightarrow{\partial_*} H_{q-1}(X_1 \cap X_2) \longrightarrow \bullet \\
& & \downarrow f_* & & \downarrow f_* & & \downarrow f_* \\
\bullet & \longrightarrow & H_q(Y_1 \cap Y_2) & \xrightarrow{\text{差/和}} & H_q(Y_1) \oplus H_q(Y_2) & \xrightarrow{\text{和/差}} & H_q(Y_1 \cup Y_2) \xrightarrow{\partial_*} H_{q-1}(Y_1 \cap Y_2) \longrightarrow \bullet
\end{array}$$

[链接](#)

Example 2.2.9 计算球面 S^n 的简约同调群 $\tilde{H}_*(S^n)$.

▼ **Solution**

以下将证明南北半球为 Mayer-Vietoris 耦, 继而用数学归纳法求解.

若拓扑空间 X 为两个闭子集 X_1 与 X_2 的并, 交集 $X_1 \cap X_2$ 为某一开邻域 V 的形变收缩核, 下断言 $\{X_1, X_2\}$ 为 Mayer-Vietoris 耦.

记 $V_i := V \cup X_i$ 为 X_i 的开邻域, 其中 $i = 1, 2$. 根据 **Definition 2.2.5** 之 **Remark**, $\{V_1, V_2\}$ 为 Mayer-Vietoris 耦. 只需证明

$$H_*(S_*(V_1) + S_*(V_2)) \rightarrow H_*(S_*(X_1) + S_*(X_2))$$

为同构. 端详下图

$$\begin{array}{ccccccc}
& & H_q(X_1) \oplus H_q(X_2) & \xrightarrow{\text{和/差}} & H_q(S_*(X_1) + S_*(X_2)) & \xrightarrow{\partial_*} & H_{q-1}(X_1 \cap X_2) \\
& \nearrow & \downarrow = & & \downarrow \text{???} & \searrow = & \downarrow = \\
H_q(X_1 \cap X_2) & \xrightarrow{\text{差/和}} & & & & & H_{q-1}(X_1) \oplus H_{q-1}(X_2) \\
\downarrow = & & & & & & \downarrow = \\
H_q(V_1 \cap V_2) & \xrightarrow{\text{差/和}} & H_q(V_1) \oplus H_q(V_2) & \xrightarrow{\text{和/差}} & H_q(S_*(V_1) + S_*(V_2)) & \xrightarrow{\partial_*} & H_{q-1}(V_1 \cap V_2) \\
& & & & \downarrow \text{???} & & \downarrow = \\
& & & & H_q(X) & & H_{q-1}(V_1) \oplus H_{q-1}(V_2)
\end{array}$$

[链接](#)

根据 **Theorem 2.1.4 (五引理)**, 蓝色箭头 (标问号 ? 处) 均为同构.

零维球面 $S^0 \cong \{p_1, p_2\}$, 从而简约同调群

- $\tilde{H}_q(S^0) = 0$, 若 $q \geq 1$,
- $\tilde{H}_0(S^0) = \mathbb{Z}$ (根据 **Example 1.3.19**).

既证明 $n \geq 1$ 时, 南北半球 $\{S_+^q, S_-^q\}$ 系 S^q 之 Mayer-Vietoris 耦, 根据 **Definition 1.3.18** 知可缩空间之简约同调群同构于单点之简约同调群, 即零同调. 观察 Mayer-Vietoris 正合同调列,

$$\tilde{H}_q(S_*(S_+^q) + S_*(S_-^q)) \xrightarrow{\partial_*} \tilde{H}_{q-1}(S_+^q \cap S_-^q) = \tilde{H}_{q-1}(S^{q-1})$$

只能为同构. 从而

- $\tilde{H}_q(S^{q'}) = \tilde{H}_{q-1}(S^{q'-1}) = \dots = \tilde{H}_{q-q'}(S^0) = 0$, 若 $q > q'$.
- $\tilde{H}_q(S^{q'}) = \tilde{H}_{q-1}(S^{q'-1}) = \dots = \tilde{H}_0(S^0) = \mathbb{Z}$, 若 $q = q'$.
- $\tilde{H}_q(S^{q'}) = \tilde{H}_{q-1}(S^{q'-1}) = \dots = \tilde{H}_0(S^{q'-q}) = 0$, 若 $q < q'$.

综上, $\tilde{H}_q(S^{q'}) = \delta_{qq'} \mathbb{Z}$.

Example 2.2.10 记 X 为 Euclid 空间 E^n 中的凸闭集, $f: X \rightarrow X$ 为连续映射, 则 f 有不动点.

▼ Solution

若不然, 则存在 f 使得 $f(x) \neq x$ 对一切 $x \in X$ 成立. 作以 $f(x)$ 为端点射向 x 的射线, 记 $g(x)$ 为射线与 ∂X 之交点. 根据凸集之定义, g 为 X 上良定义的映射. 显然 g 为连续映射.

不失一般性地记 $X = D^n$, 即 E^n 中单位球. 由于 $g|_{S^n}: S^n \rightarrow S^n$ 为同构, 故 $g: D^n \rightarrow S^n$ 为连续满射. 这与 $\tilde{H}_n(D^n) = 0 \neq \mathbb{Z} = \tilde{H}_n(S^n)$ 矛盾!

Definition 2.2.11 映射 $f: S^n \rightarrow S^n$ 诱导的同态

$$f_{\#}: \tilde{H}_n(S^n) \rightarrow \tilde{H}_*(S^n), [1] \mapsto [d].$$

称 d 为**映射度**, 记作 $\deg f = d$.



Remark Hopf 证明了**球面到自身映射下的同伦分类定理**, 即对映射 $f, g: S^n \rightarrow S^n$, 以下两则等价:

1. $\deg f = \deg g$.
2. $f \simeq g: S^n \rightarrow S^n$.

球面的映射度满足以下简单性质:

1. $\deg \text{id} = 1$,
2. $\deg(f \circ g) = \deg f \cdot \deg g$,
3. $\deg \text{constant} = 0$.

Example 2.2.12 n 维球面的镜面反射

$$r_n: S^n \rightarrow S^n, (x_0, \dots, x_n) \mapsto (-x_0, \dots, x_n)$$

满足 $\deg r_n = -1$.

▼ Proof

注意到交换图

$$\begin{array}{ccccccc} 0 & \longrightarrow & H_q(S^q) & \xrightarrow{\partial_* (\cong)} & H_{q-1}(S^{q-1}) & \longrightarrow & 0 \\ & & \downarrow r_{q*} & & \downarrow r_{q-1*} & & \\ 0 & \longrightarrow & H_q(S^q) & \xrightarrow{\partial_* (\cong)} & H_{q-1}(S^{q-1}) & \longrightarrow & 0 \end{array}$$

[链接](#)

从而 $\deg(r_{q*}) = \deg(r_{q-1*}) = \dots \deg(r_0) = -1$.



Corollary 作为推论, 对径映射

$$S^n \rightarrow S^n, (x_0, \dots, x_n) \mapsto (-x_0, \dots, -x_n)$$

的映射度为 $(-1)^{n+1}$.

Example 2.2.13 若 n 维球面 S^n 的子集 A 同胚于 $I^k := \prod_{i=1}^k [0, 1]$, 则 $\tilde{H}_*(S^n \setminus A) = 0$.

▼ Proof

若 $k = 0$, 则 A 为单点, 显然成立.

若 $k < m$ 时引理成立, 则 $k = m$ 时, 取闭链 $[z] \in \tilde{H}_*(S^n \setminus A)$. 下证明 $[z] = 0$. 若反之, 存在 z 使得 $[z] \neq 0$. 取划分 π 使得 $S^n = S_+^n \cup S_-^n$ 使得 $S_+^n \cap S_-^n = S^{n-1}$, 同时 $A = A_+ \cup A_-$, $A_+ \cap A_-$ 同胚于 I^{m-1} . 根据 **Theorem 2.2.6**, 有正合列

$$0 \rightarrow \tilde{H}_q(S^n \setminus A) \rightarrow \tilde{H}_q(S^n \setminus A_+) \oplus \tilde{H}_q(S^n \setminus A_-) \rightarrow 0.$$

由 $[z] \neq 0$ 可知 $i_{+*}([z]) \neq i_{-*}([z])$. 不妨设 $i_{1*}([z]) \neq 0$, 取 $A^{(1)} := A_+$. 同理构造 $\{A^{(m)}\}$ 使得每一 $A^{(m)}$ 均同胚于 I^m , 且满足

1. $A \supset A^{(1)} \supset A^{(2)} \supset \dots$,
2. $\bigcap_m A^{(m)} = p$ 为单点,
3. 映射

$$i_*^{(m)} : (S^n \setminus A) \rightarrow (S^n \setminus A^{(m)}), [z] \mapsto 0.$$

由于 $\tilde{H}_*(S^n \setminus p) = 0$, 从而 $(S^n \setminus A)$ 中的闭链 z 为 $(S^n \setminus p) \cong E^n$ 中的边缘链. 设 $\partial c = z$, 其中 $c \in S^n \setminus p$, 即 c 为 $S^n \setminus p$ 中有限个奇异单形之线性组合. 注意到存在 $m_0 \in \mathbb{N}$ 使得这些有限个奇异单形落在 $S^n \setminus A^{(m_0)}$ 中, 与 $0 \neq [z] \in H_*(S^n \setminus A^{(m_0)})$ 矛盾.

Example 2.2.14 若 n 维球面 S^n 的子集 A 同胚于 S^k , 则 $\tilde{H}_q(S^n \setminus A) = 0$ 若 $q \neq n - k - 1$, $\tilde{H}_{n-k-1}(S^n \setminus A) = \mathbb{Z}$.

▼ **Proof**

$k = 0$ 时, $(S^n \setminus A) \cong E^n$, 故结论成立.

将 A 分作南北半球, i.e., $A_+ \cup A_-$. 显然 $\{S^n \setminus A_+, S^n \setminus A_-\}$ 构成 $S^n \setminus (A_+ \cap A_-)$ 的 Mayer-Vietoris 耦. 根据

Example 2.2.13 知有以下正合调链

$$0 \rightarrow \tilde{H}_{q+1}(S^n \setminus (A_+ \cap A_-)) \xrightarrow{\partial} \tilde{H}_q(S^n \setminus A) \rightarrow 0.$$

因此 $\tilde{H}_{q+1}(S^n \setminus A') \cong \tilde{H}_q(S^n \setminus A)$, 其中 $A \cong S^k$, $A' \cong S^{k-1}$.



Corollary Example 2.2.14 给出了以下简单推论:

1. S^{n+1} 中同胚于 S^n 的子集将 S^{n+1} 分作两个单连通的开集, S^n 为公共边界.

特别地, $n = 1$ 时为 Jordan 曲线定理.

2. S^n 不可能嵌入 E^n .
3. 不同维度的流形一定不同胚.

流形即各点存在邻域同胚于 E^n 之邻域的拓扑.